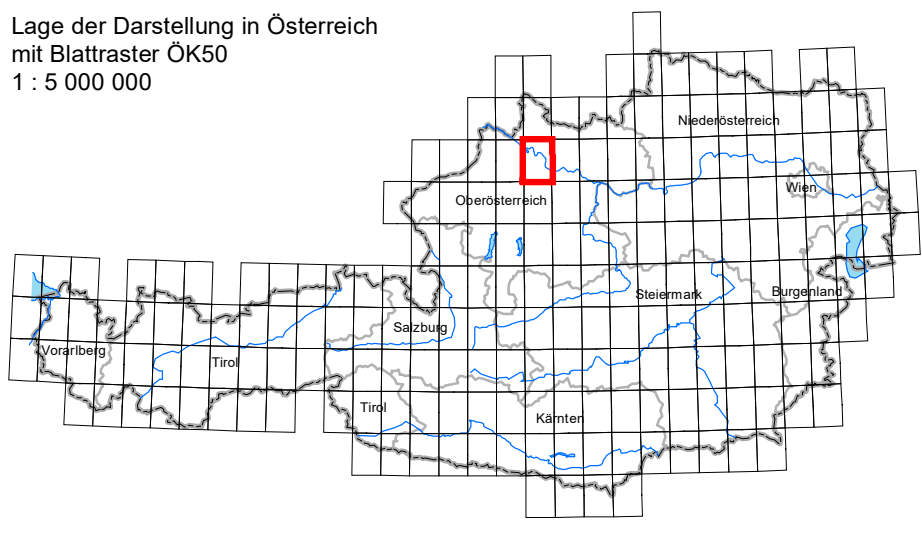
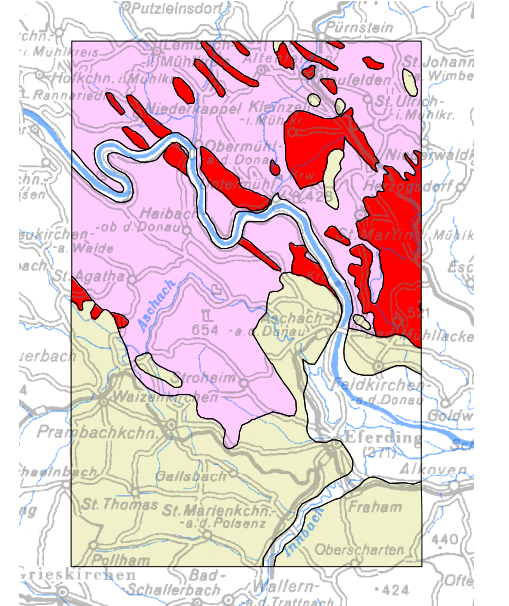


Lage der Darstellung in Österreich
mit Blattstrasse OK50
1 : 5 000 000



Geologisch-tektonische Übersicht 1: 400 000

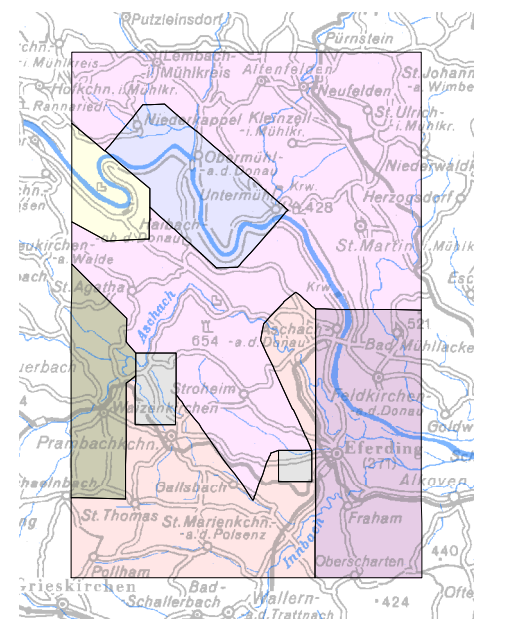


- Oberpliozäne und Quartäre Ablagerungen**
- Quartäre Ablagerungen**
- Holozäne Ablagerungen**
- Eurasische Platte**
- Autochthone Molasse und oligozän-neogene Sedimente auf der Böhmisches Masse (informell 2019127)**
- Autochthone Molasse und oligozän-neogene Sedimente auf der Böhmisches Masse / Känozoische Sedimente des Europäischen Vorlandes**
- Moldanubikum**
- Südböhmischer Batholith**
- Bavarium (Bavarisches Massiv)**
- Südböhmischer Batholith**
- Bavarium (Bavarisches Massiv)**

Enthalten im Verlag der Geologischen Bundesanstalt - www.geologie.ac.at, A-1030 Wien, Neulinggasse 38.
© 2020 Geologische Bundesanstalt für den Datensatz und alle abgeteilten Produkte.
Topografie © BEV - 2020. Vervielfältigt mit Genehmigung des BEV - Bundesamt für Eich- und Vermessungswesen in Wien, N 2020/68237.

Projektleiter: H. G. Krenmayr,
Redaktion: G. Griesmaier & W. Pavlik,
GIS-Datenbank: I. Bayer,
Layout: I. Bayer

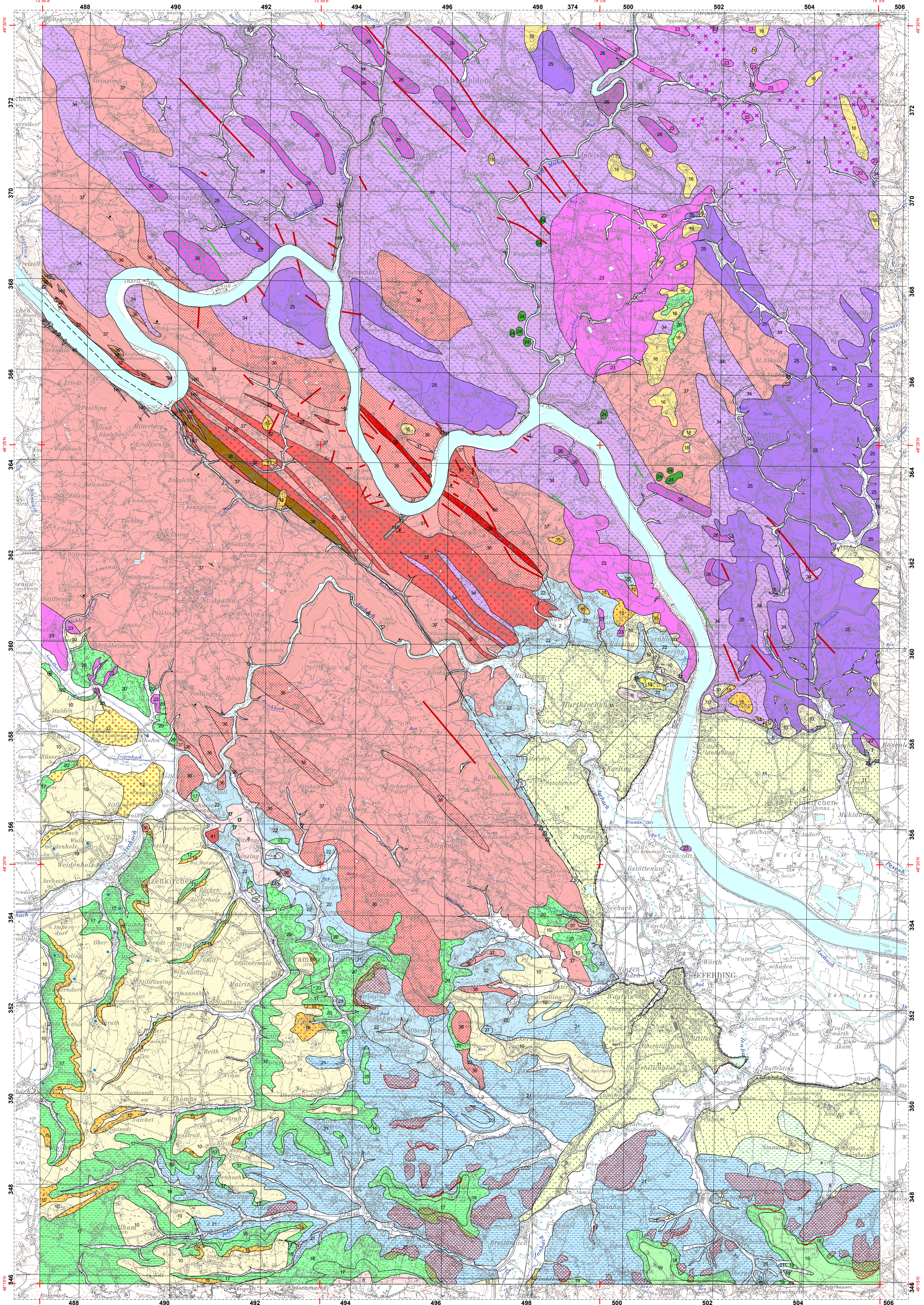
Übersicht der eingearbeiteten Karten



Kompilation:
M. Moser, M. Linner (GBA, 2020)

Unter Verwendung Laasans:
Amt der Oberösterreichischen Landesregierung

Hinweis für Nutzer/-innen
GEOFAST-Karten werden überwiegend aus Archivunterlagen der Geologischen Bundesanstalt erstellt. Ergänzend können auch publizierte Karten, meist älteren Datums, in die Zusammenstellung einfließen. Eine Überprüfung durch zusätzliche Geländebegehungen erfolgt nicht. Diskontinuitäten zwischen den verwendeten Kartenunterlagen verschiedener Autoren werden bewusst beibehalten und können sich als Sprünge in den Konturlinien äußern. Geologische Inhalte werden in die aktuellen stratigraphischen und tektonischen Modelle überführt. Aufgrund der Übertragung der geologischen Inhalte von Karten mit veralteter Topografie und größeren Maßstäben in die aktuelle topografische Grundlage sind Lagegenauigkeiten vorhanden.



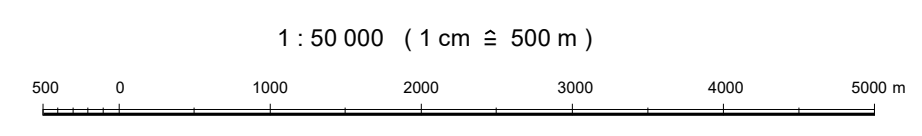
- QUARTÄRE SEDIMENTE UND FORMEN**
- 1 Anthropogene Ablagerung (Anschüttung, Verfüllung, Halde etc.)
- 2 Bach- oder Flussablagerung, Austufe größerer Gerinne (Schluff, Sand, Kies)
- 3 Terrassenschotter entlang von Bach- und Flussläufen
- 4 Vernässung, Anmoor, Niedermoor
- 5 Schwemmfächer, Murkegel
- 6 Rutschhang, Fließerde, Rutschmasse, Hangrutschung, Kriechhang, Hangfließen, Bergschliff
- 7 Soilluktions- und Flächenspülungs sediment in Mulden und Tächen (Ton, Schluff, Sand, Lehm; Würm-Postglazial)
- 8 Umlagerungslehm, Verwitterungslehm (periglaziale Fließerde, Soilluktionsböden, Würm-Postglazial)
- 9 Hangfluslehm
- 10 Löss und Lösslehm
- 11 Niederterrasse (Kies, Sand, Schluff; Würm)
- 12 Hochterrasse (Konglomerat, Kies, Sand, Schluff, Löss-Lehm-Decke; Riß)
- 13 Jüngere Deckenschotter (Kies, Sand, Konglomerat, lokal mit Lehmdecke; Mindel)
- 14 Ältere Deckenschotter (Kies, Sand, Konglomerat, stark verwittert, lokal mit Lehmdecke; Günz)
- 15 Poltamer- und Federnberg-Schotter (quarz- und instabile Schotter, Sand, Lehm; unterstes Pleistozän)

- AUTOCHTHONE MOLASSE UND OLIGOZÄN-NEOGENE SEDIMENTE AUF DER BÖHMISCHEN MASSE**
- Autochthone Molasse und oligozän-neogene Sedimente auf der Böhmisches Masse Känozoische Sedimente des Europäischen Vorlandes**
- 16 "Altland-Schotter" (limnisch-fluvialer Schotter mit verkieselten Hölzern; Neogen)
- 17 Otrung-Formation (siltig-sandiger Tonmergel, silberer Sand; unteres Otrungium)
- 18 Kletzenmarkt-Glaukonit-Formation (Glaukonit sand mit Mergelagen; unteres Otrungium)
- 19 Robulus-Schlier (siltreicher, feinsandiger Mergel, marin; unteres Otrungium)
- 20 Plesching-Formation (Phosphoritsand, fossilreicher Grobsand; unteres Otrungium)
- 21 Älterer Schlier (Tonmergel, siltig, dunkel und Merlitlagen, marin; Egerium)
- 22 "Linz-Melk-Formation" (Quarzsand, Arkose, marin, untergeordnet Strandblockwerk; Kiscellium - Egerium)

- MOLDANUBIKUM**
- 23 Mylonite, Scherzonen
- 24 Mylonitische Gesteine entlang von Scherzonen (Mylonitische Paragneis, Migmatit, Granit, Aplit)
- 25 Dioritporphyr, Lamprophyr
- 26 Granitporphyr, Quarzdiortporphyr
- Südböhmischer Batholith**
- 27 Feinkorngranitgänge
- 28 Feinkorngranite i.a. (Fein- bis mittelkörniger, heller Biotitgranit, Granodiorit; Pennsylvanum)
- 29 Diorit Typ 2 (dunkelgrau, feinkörnig, massig, Biotit und Hornblende führend), z.T. Titanitflecken-Diorit
- 30 Übergangszonen von Weinsberger Granit in Schlierengranit
- 31 Weinsberger Granit (Grobkörniger Biotit-Granit mit idiomorphem Großkalifeldspat, Mississippium)

- Bavarium (Bavarisches Massiv)**
- 32 Granat-Aplit
- 33 Haibacher Granit (Feinkörniger, sehr heller S-Typ Zweiglimmer-Granit, deutlich deformiert; Pennsylvanum)
- 34 Wechsellagerung metatektischer Paragneis und deformierter Haibacher Granit
- 35 St. Sixter und Köpfinger Granit (heller, fein- bis mittelkörniger Zweiglimmergranit; Pennsylvanum)
- 36 Schlierengranit (Grobkörniger Migmatit, Granit, Granodiorit, schlierig, rötlicher Großkalifeldspat, Diortschollen)
- 37 Amphibolit (mafischer Restit)
- 38 Diatektischer Paragneis (homogenisierter Perigneis; homogene, massiger, mittelkörniger Migmatit)
- 39 Metablastischer bis metatektischer Paragneis ("Perigneis")
- 40 Paragneis, "Schiefergneis" (biotitreicher Paragneis, Sillimanit, Cordierit, Granat führend, feinkörniger Biotit-Plagioklasgneis)

- Diverse Zeichen**
- 41 Störung (gesichert)
- 42 Störung (vermutet)
- Streichen und Fallen der Schieferung und Schichtung**
- 43 5 - 30°
- 44 30 - 60°
- 45 60 - 85°
- Sonstige**
- 46 Bohrung
- 47 Brunnen
- 48 Terrassenkante, Erosionskante
- 49 Abrikkante, Rutschung (gesichert)



Gauß-Krüger-Abbildung, Koordinatensystem M 34 des Bundesmetriernetzes